

Motivação

- Inspeção de grandes áreas
 - ▣ Tarefas de segurança pública
 - ▣ Gestão de riscos naturais
 - ▣ Aplicações militares
 - ▣ Agricultura de precisão
- É mais vantajoso utilizar um VANT do que um VTNT



Motivação

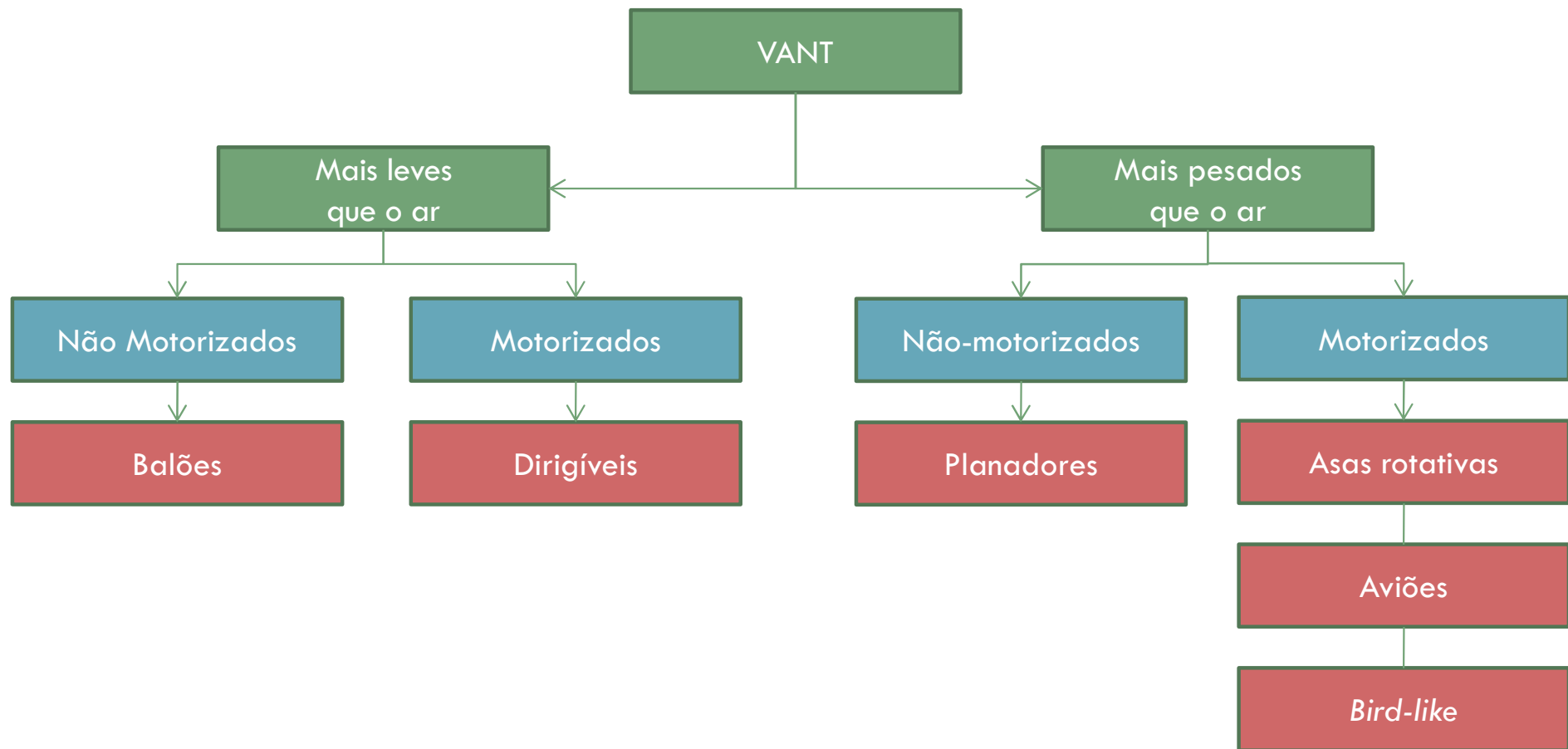
□ Definições

- Aeronave, PVTOL (*Planar Vertical Take-off and Landing*) e UAV/VANT (*Unmanned Aerial Vehicle/Veículo Aéreo Não Tripulado*)



Motivação

□ Classificação dos VANTs

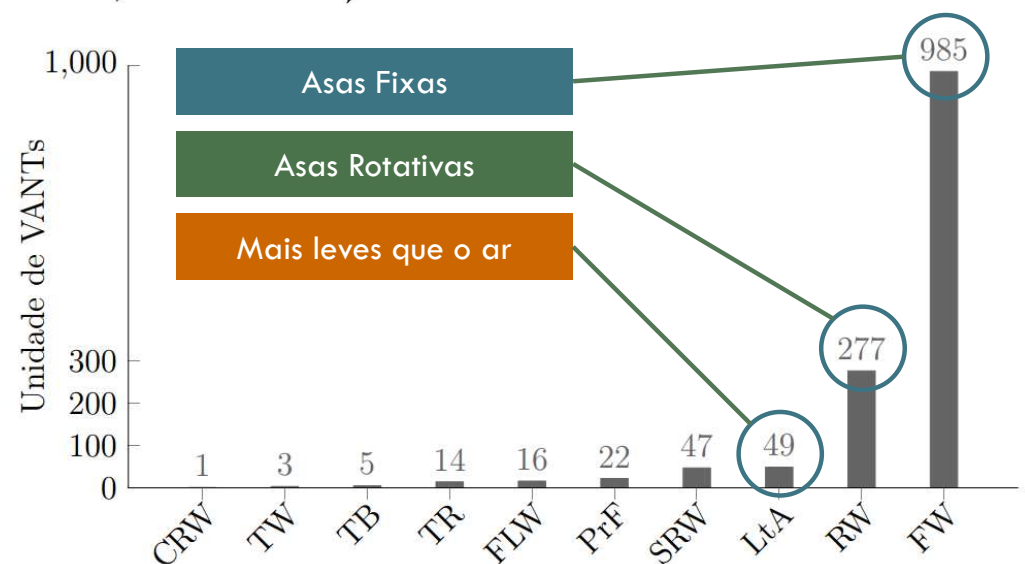
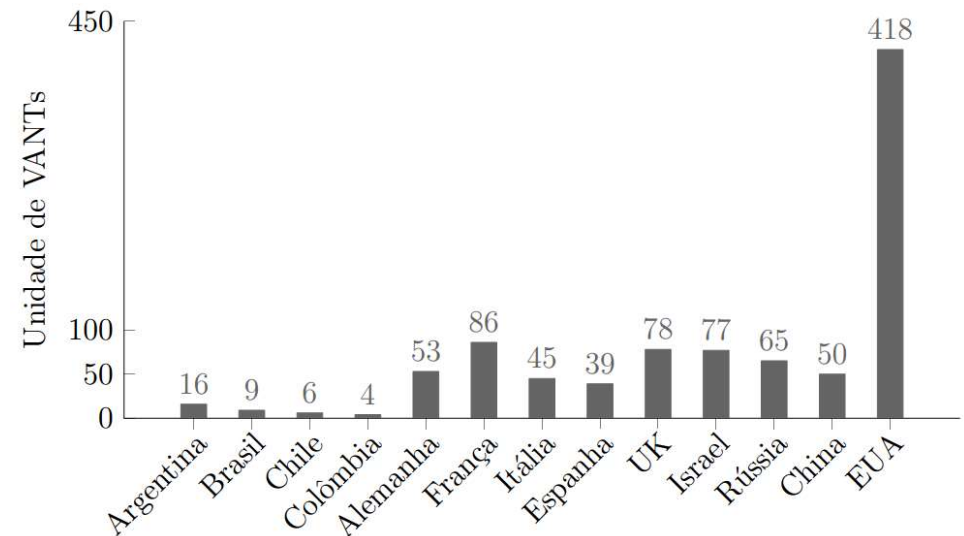
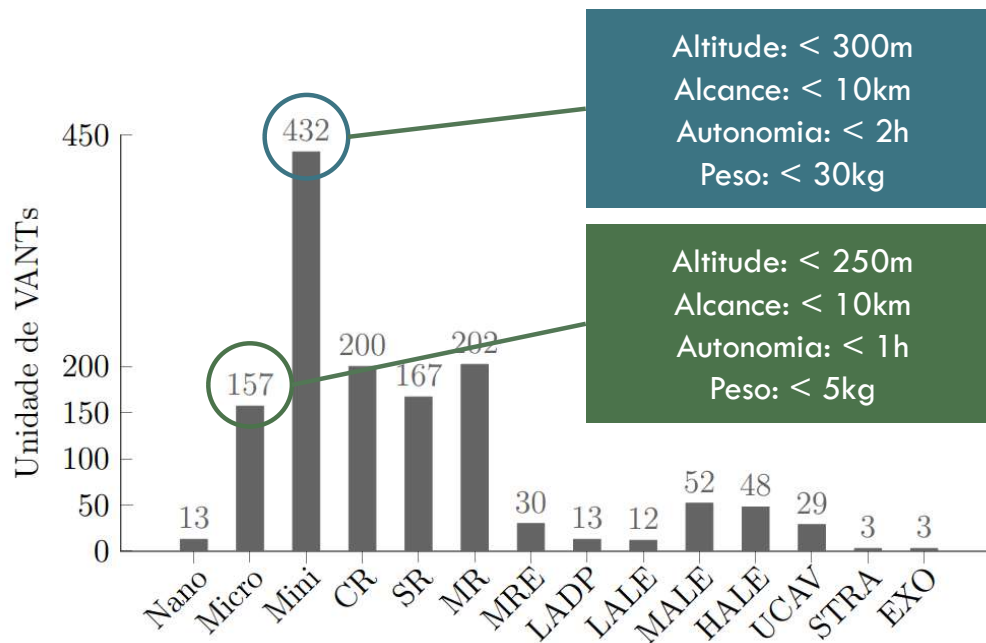


Motivação

Desenvolvimento

- Por país
- Por categoria
- Por fuselagem

P. van Blyenburgh. UAS: The Global Perspective 2011/2012. 9a Ed. Blyenburgh & CO, 2011.



Motivação

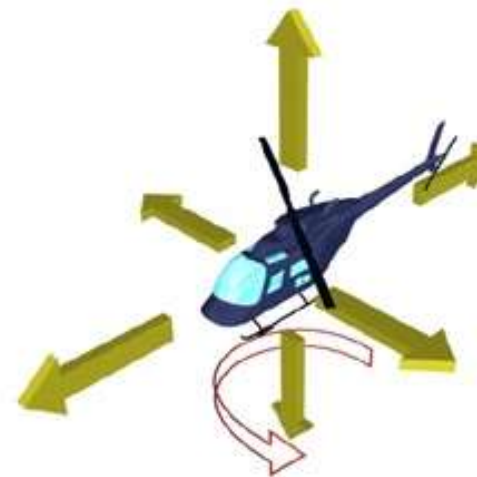
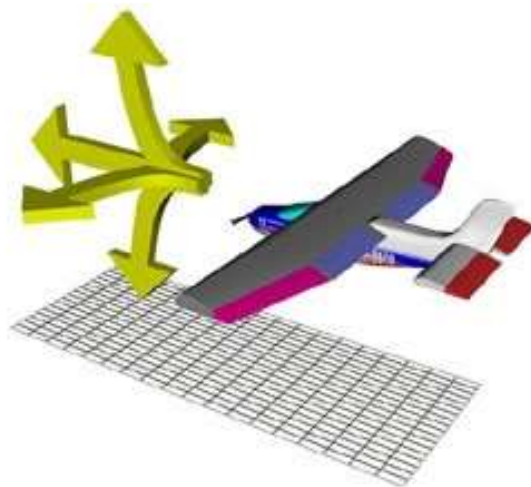
□ Comparação entre três tipos clássicos de VANTs

- I. Tjernber, J. Lindberg, K. Hansson. *Cooperative Networked control of unmanned air vehicles*. Technical Report, 2011.

Nota: 3 é excelente e 1 é ruim	Aviões	Veículos de Asas Rotativas	Dirigíveis
Consumo de energia	2	1	3
Controlabilidade	2	3	1
Voo estacionário	1	3	3
Voo a baixas velocidades	1	3	3
Voo a altas velocidades	3	2	1
Miniaturização	2	3	1
Decolagem Vertical	1	3	3
Utilização <i>Indoor</i>	1	3	2
Total	12	21	17

Motivação

- Do ponto de vista físico, os VANTs de pás rotativas são muito complexos, embora apresentem grande manobrabilidade
- Do ponto de vista de controle, eles são sistemas inerentemente instáveis, não lineares, multivariáveis, subatuados, de dinâmica complexa e altamente acoplada



MODELAGEM



Motivação

- Navegação autônoma de um VANT
 - ▣ Conjunção de sua modelagem e um controlador capaz de guiá-lo
- Abordagens de modelagem
 - ▣ Baseada nas equações físicas do sistema
 - ▣ Baseada em técnicas de identificação de sistemas
- Modelagem matemática
 - ▣ Descrição através das equações de Euler-Lagrange

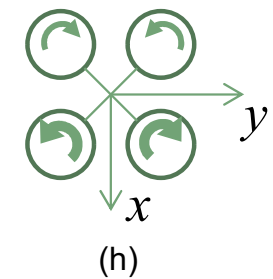
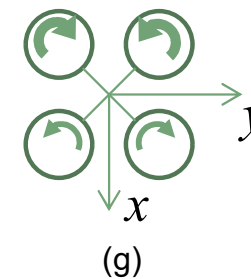
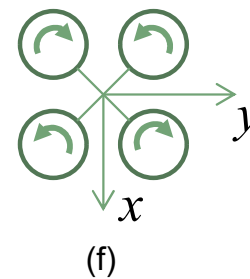
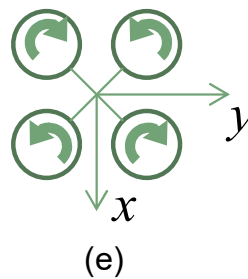
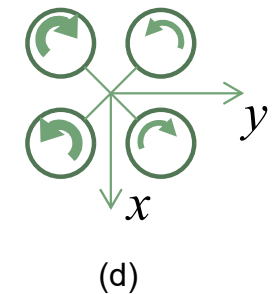
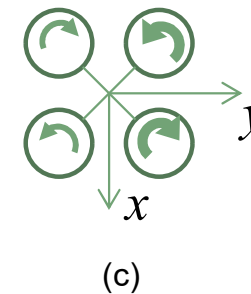
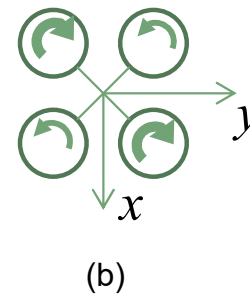
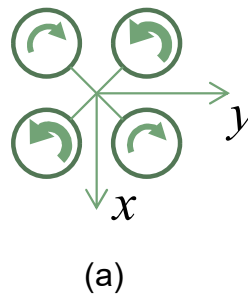
$$\mathbf{M}(\mathbf{q})\ddot{\mathbf{q}} + \mathbf{C}(\mathbf{q}, \dot{\mathbf{q}})\dot{\mathbf{q}} + \mathbf{F}(\dot{\mathbf{q}}) + \mathbf{G}(\mathbf{q}) = \boldsymbol{\tau} + \mathbf{D}$$

- ▣ Descrição através das equações de Newton-Euler

$$\dot{\mathbf{x}}(t) = \mathbf{f}(\mathbf{x}, \mathbf{u}, t)$$

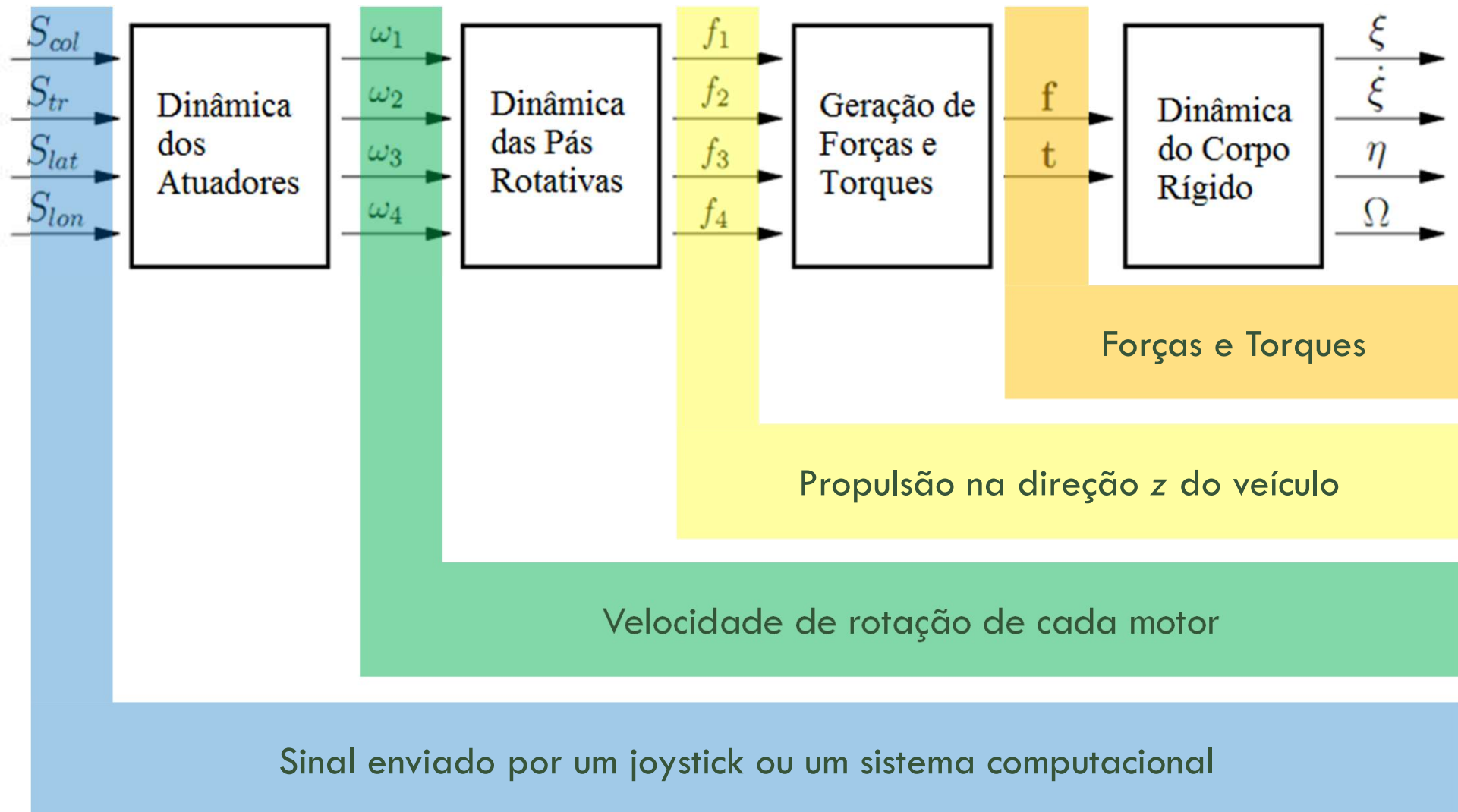
Princípio de Funcionamento

- Um quadrirrotor é um veículo aéreo de quatro rotores, responsáveis pela estabilização, controle e navegação
 - S. Bouabdallah, M. Becker, V. de Perrot, R. Siewart. Toward Obstacle Avoidance on Quadrotors. Proc. of the DINAME, 2007.



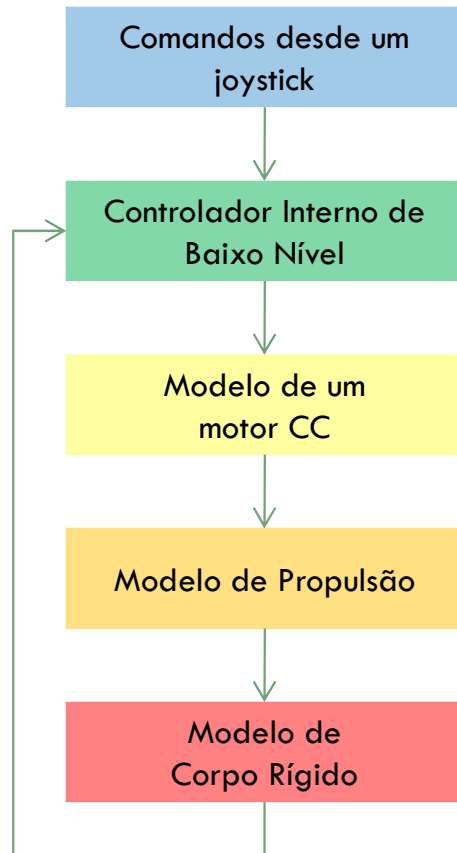
(a) Guinada sentido anti-horário (b) Guinada sentido horário (c) Rolagem positiva (d) Rolagem negativa
(e) Decolagem (f) Aterrissagem (g) Arfagem positiva (h) Arfagem negativa

Estrutura de um Quadrimotor



Modelo de Baixo Nível

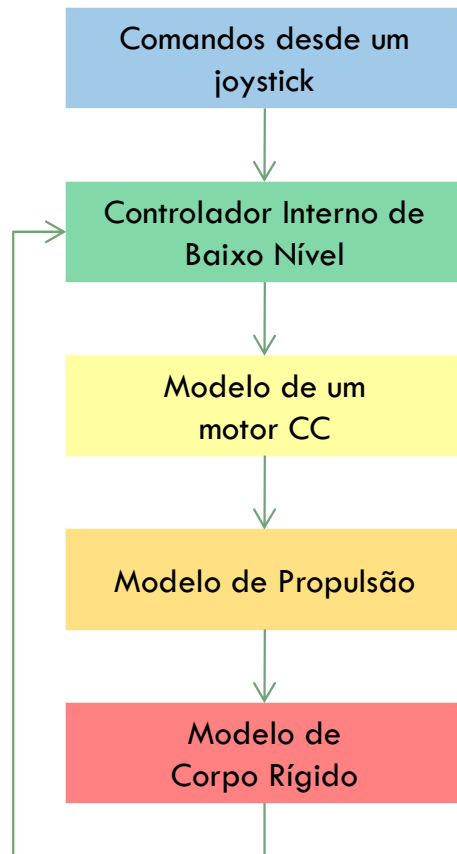
□ Quadrimotor



$$\begin{bmatrix} \phi_r & \theta_r & \dot{\psi}_r & \dot{z}_r \end{bmatrix}^T = \begin{bmatrix} \phi_{\text{máx}} S_{lat} & \theta_{\text{máx}} S_{long} & \dot{\psi}_{\text{máx}} S_{yaw} & \dot{z}_{\text{max}} S_{col} \end{bmatrix}^T$$

Modelo de Baixo Nível

□ Quadrimotor

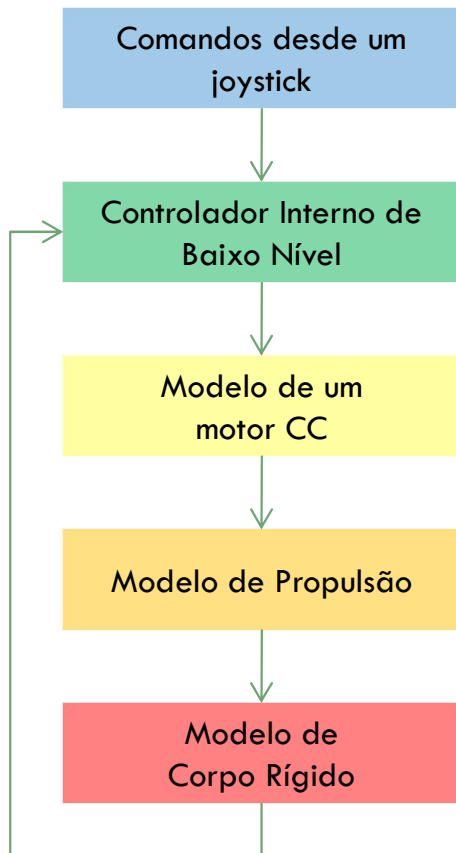


$$\begin{bmatrix} \phi_r & \theta_r & \dot{\psi}_r & \dot{z}_r \end{bmatrix}^T = \begin{bmatrix} \phi_{\text{máx}} S_{lat} & \theta_{\text{máx}} S_{long} & \dot{\psi}_{\text{máx}} S_{yaw} & \dot{z}_{\text{max}} S_{col} \end{bmatrix}^T$$

$$\begin{bmatrix} V_1 \\ V_2 \\ V_3 \\ V_4 \end{bmatrix} = \begin{bmatrix} 1 & -1 & 1 & 1 \\ 1 & 1 & -1 & 1 \\ -1 & 1 & 1 & 1 \\ -1 & -1 & -1 & 1 \end{bmatrix} \begin{bmatrix} K_{p\phi} \tilde{\phi} + K_{d\phi} \dot{\tilde{\phi}} \\ K_{p\theta} \tilde{\theta} + K_{d\theta} \dot{\tilde{\theta}} \\ K_{p\psi} \dot{\tilde{\psi}} + K_{d\psi} \ddot{\tilde{\psi}} \\ K_{pz} \dot{\tilde{z}} + K_{dz} \ddot{\tilde{z}} \end{bmatrix} \quad \text{onde } \tilde{\mathbf{x}} = \mathbf{x}_r - \mathbf{x}$$

Modelo de Baixo Nível

□ Quadrimotor



$$\begin{bmatrix} \phi_r & \theta_r & \dot{\psi}_r & \dot{z}_r \end{bmatrix}^T = \begin{bmatrix} \phi_{\text{máx}} S_{lat} & \theta_{\text{máx}} S_{long} & \dot{\psi}_{\text{máx}} S_{yaw} & \dot{z}_{\text{max}} S_{col} \end{bmatrix}^T$$

$$\begin{bmatrix} V_1 \\ V_2 \\ V_3 \\ V_4 \end{bmatrix} = \begin{bmatrix} 1 & -1 & 1 & 1 \\ 1 & 1 & -1 & 1 \\ -1 & 1 & 1 & 1 \\ -1 & -1 & -1 & 1 \end{bmatrix} \begin{bmatrix} K_{p\phi} \tilde{\phi} + K_{d\phi} \dot{\tilde{\phi}} \\ K_{p\theta} \tilde{\theta} + K_{d\theta} \dot{\tilde{\theta}} \\ K_{p\psi} \dot{\tilde{\psi}} + K_{d\psi} \ddot{\tilde{\psi}} \\ K_{pz} \dot{\tilde{z}} + K_{dz} \ddot{\tilde{z}} \end{bmatrix} \quad \text{onde } \tilde{\mathbf{x}} = \mathbf{x}_r - \mathbf{x}$$

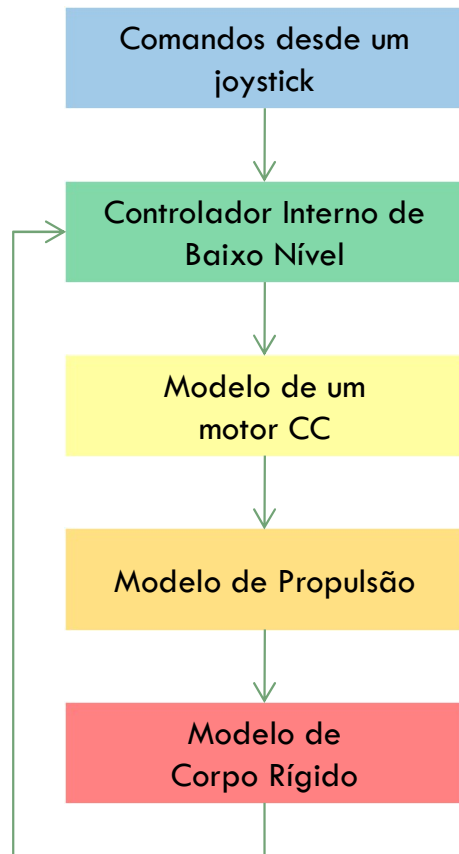
$$V - V_b = L \frac{di}{dt} + Ri, \quad \text{onde } V_b = K_b \omega$$

$$J_m \frac{d\omega}{dt} + B_m \omega = \tau_m - \tau_l, \quad \text{onde } \tau_m = k_m i \quad \text{y} \quad \tau_l = C_t \omega^2$$

$$V_i = \frac{1}{k_m} [J_m R \dot{\omega}_i + (B_m R + k_m k_b) \omega_i + R C_t \omega_i^2], \quad \text{considerando } \frac{L}{R} \ll \frac{J_m}{B_m}$$

Modelo de Baixo Nível

□ Quadrimotor



$$\begin{bmatrix} \phi_r & \theta_r & \dot{\psi}_r & \dot{z}_r \end{bmatrix}^T = \begin{bmatrix} \phi_{\text{máx}} S_{lat} & \theta_{\text{máx}} S_{long} & \dot{\psi}_{\text{máx}} S_{yaw} & \dot{z}_{\text{máx}} S_{col} \end{bmatrix}^T$$

$$\begin{bmatrix} V_1 \\ V_2 \\ V_3 \\ V_4 \end{bmatrix} = \begin{bmatrix} 1 & -1 & 1 & 1 \\ 1 & 1 & -1 & 1 \\ -1 & 1 & 1 & 1 \\ -1 & -1 & -1 & 1 \end{bmatrix} \begin{bmatrix} K_{p\phi} \tilde{\phi} + K_{d\phi} \dot{\tilde{\phi}} \\ K_{p\theta} \tilde{\theta} + K_{d\theta} \dot{\tilde{\theta}} \\ K_{p\psi} \dot{\tilde{\psi}} + K_{d\psi} \ddot{\tilde{\psi}} \\ K_{pz} \dot{\tilde{z}} + K_{dz} \ddot{\tilde{z}} \end{bmatrix} \quad \text{onde } \tilde{\mathbf{x}} = \mathbf{x}_r - \mathbf{x}$$

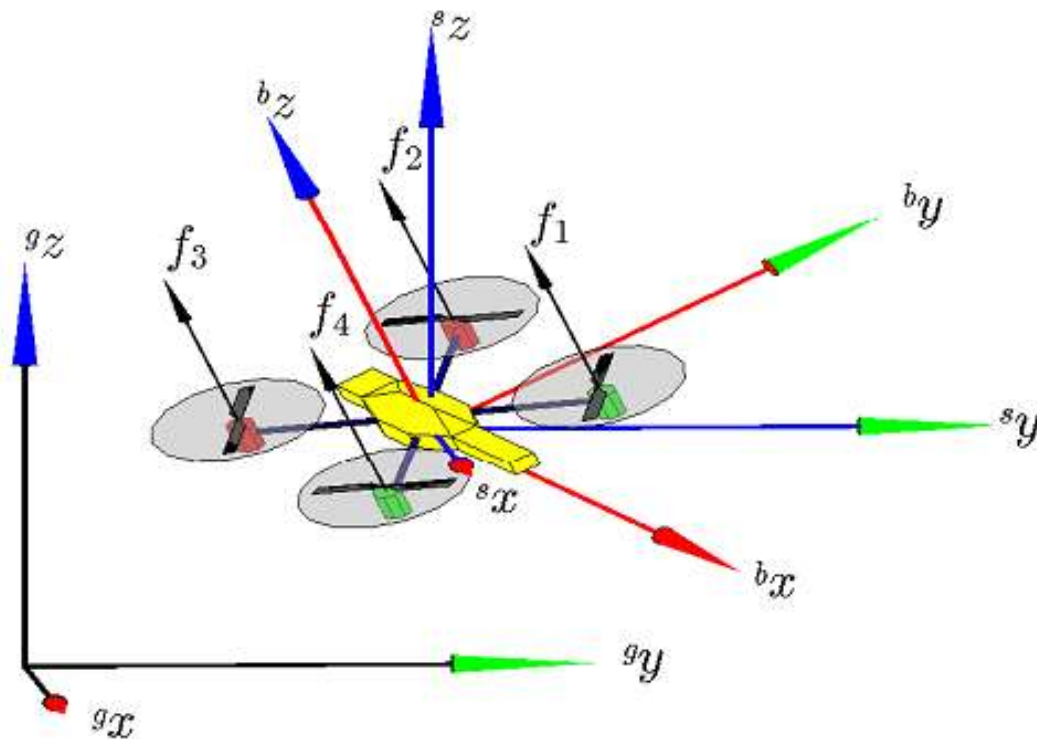
$$V - V_b = L \frac{di}{dt} + Ri, \quad \text{onde } V_b = K_b \omega$$

$$J_m \frac{d\omega}{dt} + B_m \omega = \tau_m - \tau_l, \quad \text{onde } \tau_m = k_m i \text{ y } \tau_l = C_t \omega^2$$

$$V_i = \frac{1}{k_m} [J_m R \dot{\omega}_i + (B_m R + k_m k_b) \omega_i + R C_t \omega_i^2], \quad \text{considerando } \frac{L}{R} \ll \frac{J_m}{B_m}$$

$$F_i = C_f \omega_i^2, \quad \text{para } F_o = C_f \omega_o = \frac{1}{4} mg$$

Sistema de Referência



⟨g⟩ Referencial Inercial
⟨s⟩ Referencial Espacial
⟨b⟩ Referencial do veículo

$$\xi = [x \ y \ z]^T \in \mathbb{R}^3$$

$$\eta = [\phi \ \theta \ \psi]^T \in \mathbb{R}^3$$

R. Pettersen, E. Mustafic, M. Fogh. *Nonlinear control approach to helicopter autonomy*.
Master Thesis. Aalborg University, 2005.

Modelo de Alto Nível

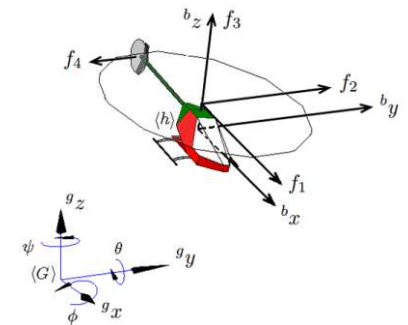
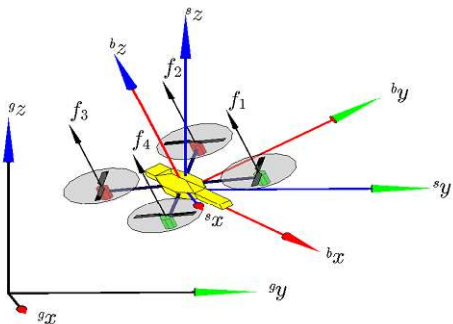
□ Modelo cinemático

$${}^b\dot{\mathbf{q}} = J(\eta)g\dot{\mathbf{q}}$$

$$J(\eta) = \begin{bmatrix} \mathcal{R} & \mathbf{0} \\ \mathbf{0} & W_\eta \end{bmatrix} \in \mathbb{R}^{6 \times 6}$$

$$\mathcal{R} = \begin{bmatrix} \cos \theta \cos \psi & \cos \theta \sin \psi & -\sin \theta \\ \sin \phi \sin \theta \cos \psi - \cos \phi \sin \psi & \sin \phi \sin \theta \sin \psi + \cos \phi \cos \psi & \sin \phi \cos \theta \\ \cos \phi \sin \theta \cos \psi + \sin \phi \sin \psi & \cos \phi \sin \theta \sin \psi - \sin \phi \cos \psi & \cos \phi \cos \psi \end{bmatrix}$$

$$\Omega = W_\eta \dot{\eta} = \begin{bmatrix} 1 & 0 & -\sin \theta \\ 0 & \cos \phi & \sin \phi \cos \theta \\ 0 & -\sin \phi & \cos \phi \cos \theta \end{bmatrix} \begin{bmatrix} \dot{\phi} \\ \dot{\theta} \\ \dot{\psi} \end{bmatrix}$$



Modelo de Alto Nível

- Modelo dinâmico segundo Euler-Lagrange

$$L = K - U = \frac{1}{2} m \dot{\xi}^T \dot{\xi} + \frac{1}{2} \Omega^T \mathbf{I} \Omega - mgz \quad \frac{d}{dt} \left(\frac{\partial L}{\partial \dot{\mathbf{q}}} \right) - \frac{\partial L}{\partial \mathbf{q}} = \begin{bmatrix} {}^g \mathbf{f} \\ {}^g \boldsymbol{\tau} \end{bmatrix}$$

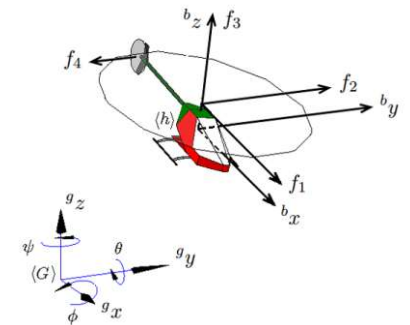
$$\begin{bmatrix} mI_3 & \mathbf{0} \\ \mathbf{0} & \mathbf{M}_r(\eta) \end{bmatrix} \begin{bmatrix} \ddot{\xi} \\ \ddot{\eta} \end{bmatrix} + \begin{bmatrix} \mathbf{0} & \mathbf{0} \\ \mathbf{0} & \mathbf{C}_r(\eta, \dot{\eta}) \end{bmatrix} \begin{bmatrix} \dot{\xi} \\ \dot{\eta} \end{bmatrix} + \begin{bmatrix} \mathbf{G}(g) \\ \mathbf{0} \end{bmatrix} = \begin{bmatrix} \mathbf{f} \\ \boldsymbol{\tau} \end{bmatrix} - \begin{bmatrix} \mathbf{D}_t \\ \mathbf{D}_r \end{bmatrix}$$

$$\mathbf{f} = [f_x \ f_y \ f_z]^T = \mathcal{R} \mathcal{A}_t [f_1 \ f_2 \ f_3 \ f_4]^T$$

$$\boldsymbol{\tau} = [\tau_\phi \ \tau_\theta \ \tau_\psi]^T = \mathcal{A}_r [f_1 \ f_2 \ f_3 \ f_4]^T$$

$$\mathcal{A}_t = \begin{bmatrix} 1 & 0 & 0 & 0 \\ 0 & 1 & 0 & -1 \\ 0 & 0 & 1 & 0 \end{bmatrix}$$

$$\mathcal{A}_r = \begin{bmatrix} 0 & -H_{mz} & -H_{my} & L_{tz} \\ H_{mz} & 0 & H_{mx} & 0 \\ H_{my} & -H_{mx} & 0 & -L_{tx} \end{bmatrix}$$



Modelo de Alto Nível

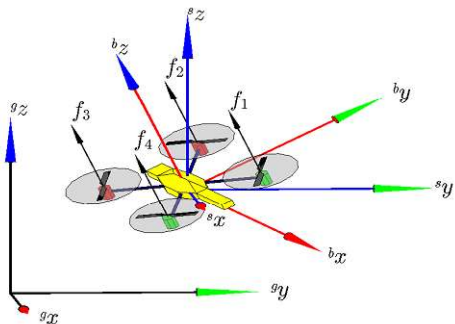
- Modelo dinâmico segundo Euler-Lagrange

$$L = K - U = \frac{1}{2} m \dot{\xi}^T \dot{\xi} + \frac{1}{2} \Omega^T \mathbf{I} \Omega - mgz \quad \frac{d}{dt} \left(\frac{\partial L}{\partial \dot{\mathbf{q}}} \right) - \frac{\partial L}{\partial \mathbf{q}} = \begin{bmatrix} {}^g \mathbf{f} \\ {}^g \boldsymbol{\tau} \end{bmatrix}$$

$$\begin{bmatrix} mI_3 & \mathbf{0} \\ \mathbf{0} & \mathbf{M}_r(\eta) \end{bmatrix} \begin{bmatrix} \ddot{\xi} \\ \ddot{\eta} \end{bmatrix} + \begin{bmatrix} \mathbf{0} & \mathbf{0} \\ \mathbf{0} & \mathbf{C}_r(\eta, \dot{\eta}) \end{bmatrix} \begin{bmatrix} \dot{\xi} \\ \dot{\eta} \end{bmatrix} + \begin{bmatrix} \mathbf{G}(g) \\ \mathbf{0} \end{bmatrix} = \begin{bmatrix} \mathbf{f} \\ \boldsymbol{\tau} \end{bmatrix} - \begin{bmatrix} \mathbf{D}_t \\ \mathbf{D}_r \end{bmatrix}$$

$$\mathbf{f} = [f_x \ f_y \ f_z]^T = \mathcal{R} \mathcal{A}_t [f_1 \ f_2 \ f_3 \ f_4]^T$$

$$\boldsymbol{\tau} = [\tau_\phi \ \tau_\theta \ \tau_\psi]^T = \mathcal{A}_r [f_1 \ f_2 \ f_3 \ f_4]^T$$



$$\mathcal{A}_t = \begin{bmatrix} 0 & 0 & 0 & 0 \\ 0 & 0 & 0 & 0 \\ 1 & 1 & 1 & 1 \end{bmatrix}$$

$$\mathcal{A}_{r_q} = \begin{bmatrix} k_1 & k_1 & -k_1 & -k_1 \\ -k_1 & k_1 & k_1 & -k_1 \\ k_2 & -k_2 & k_2 & -k_2 \end{bmatrix}$$

Modelo de Alto Nível

- Modelo dinâmico segundo a forma subatuada

$$\begin{bmatrix} M_{pp} & M_{pa} \\ M_{ap} & M_{aa} \end{bmatrix} \begin{bmatrix} \ddot{q}_p \\ \ddot{q}_a \end{bmatrix} + \begin{bmatrix} E_p \\ E_a \end{bmatrix} = \begin{bmatrix} 0_p \\ f_a \end{bmatrix} \quad \text{com} \quad \begin{bmatrix} E_p \\ E_a \end{bmatrix} = \begin{bmatrix} C_{pp} & C_{pa} \\ C_{ap} & C_{aa} \end{bmatrix} \begin{bmatrix} \dot{q}_p \\ \dot{q}_a \end{bmatrix} + \begin{bmatrix} G_p \\ G_a \end{bmatrix}$$

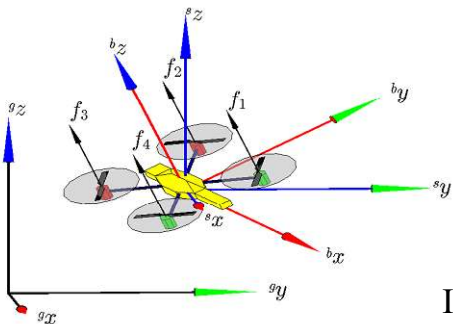
$$f_a = \mathcal{A}^\# \begin{bmatrix} f \\ \tau \end{bmatrix}, \quad \text{onde} \quad \mathcal{A} = \begin{bmatrix} \mathcal{R}\mathcal{A}_t \\ \mathcal{A}_r \end{bmatrix} \in \mathbb{R}^{6 \times 4}$$

Ativa

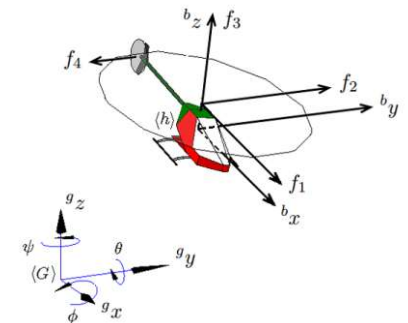
$$M_{ap}\ddot{q}_p + M_{aa}\ddot{q}_a + E_a = f_a \in \mathbb{R}^4$$

Passiva

$$M_{pa}\ddot{q}_a + M_{pp}\ddot{q}_p + E_p = 0_p \in \mathbb{R}^2$$

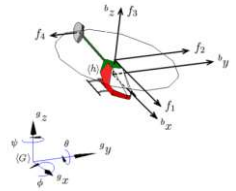


I. Fantoni and R. Lozano, *Non-linear control for underactuated mechanical systems*.
GB: Springer, 2002.



Modelo de Alto Nível

- Restrição de segunda ordem para um helicóptero



$$\mathbf{M}_{pa}\ddot{\mathbf{q}}_a + \mathbf{M}_{pp}\ddot{\mathbf{q}}_p + \mathbf{E}_p = \mathbf{0}_p \in \mathbb{R}^2$$

$$\begin{bmatrix} f_1 \\ f_2 \\ f_3 \end{bmatrix} = \begin{bmatrix} \mathcal{R}_x \mathbf{f} \\ \mathcal{R}_y \mathbf{f} + f_4 \\ \mathcal{R}_z \mathbf{f} \end{bmatrix} \quad \begin{bmatrix} \tau_\phi \\ \tau_\theta \\ \tau_\psi \end{bmatrix} = \begin{bmatrix} -H_{mz}f_2 - H_{my}f_3 + L_{tz}f_4 \\ H_{mz}f_1 + H_{mx}f_3 \\ H_{my}f_1 - H_{mx}f_2 + L_{tx}f_4 \end{bmatrix}$$

$$\begin{aligned} 0 &= \tau_\phi + \frac{(L_{tz} - H_{mz})}{(L_{tx} - H_{mx})} \tau_\psi + \left[H_{mz} \mathcal{R}_y + H_{my} \mathcal{R}_z - \frac{(L_{tz} - H_{mz})}{(L_{tx} - H_{mx})} (H_{mx} \mathcal{R}_y - H_{my} \mathcal{R}_x) \right] \mathbf{f} \\ &= \tau_\phi + \alpha_1 \tau_\psi + \beta_1 \mathbf{f}, \end{aligned}$$

$$\begin{aligned} 0 &= \tau_\theta - (H_{mz} \mathcal{R}_x + H_{mx} \mathcal{R}_z) \mathbf{f} \\ &= \tau_\theta + \beta_2 \mathbf{f}, \end{aligned}$$

$$\begin{bmatrix} 0 \\ 0 \end{bmatrix} = \begin{bmatrix} m\beta_2 & \mathbf{M}_{r_\theta} \\ m\beta_1 & \mathbf{M}_{r_\phi} + \alpha_1 \mathbf{M}_{r_\psi} \end{bmatrix} \begin{bmatrix} \ddot{\xi}_h \\ \ddot{\eta}_h \end{bmatrix} + \begin{bmatrix} 0 & \mathbf{C}_{r_\theta} \\ 0 & \mathbf{C}_{r_\phi} + \alpha_1 \mathbf{C}_{r_\psi} \end{bmatrix} \begin{bmatrix} \dot{\xi}_h \\ \dot{\eta}_h \end{bmatrix} + \begin{bmatrix} \beta_2 \mathbf{G} \\ \beta_1 \mathbf{G} \end{bmatrix} + \begin{bmatrix} \mathbf{D}_{r_\theta} + \beta_2 \mathbf{D}_t \\ \mathbf{D}_{r_\phi} + \alpha_1 \mathbf{D}_{r_\psi} + \beta_1 \mathbf{D}_t \end{bmatrix}$$

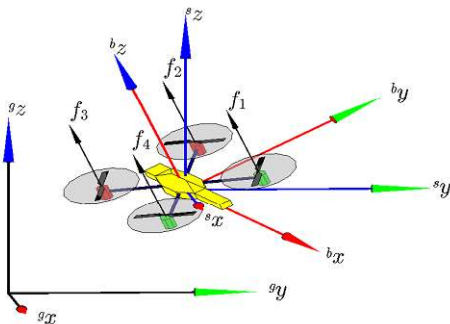
Modelo de Alto Nível

- Restrição de segunda ordem para um quadrimotor

$$\mathbf{M}_{pa}\ddot{\mathbf{q}}_a + \mathbf{M}_{pp}\ddot{\mathbf{q}}_p + \mathbf{E}_p = \mathbf{0}_p \in \mathbb{R}^2$$

$$\mathcal{R}^T \mathbf{f} = \begin{bmatrix} 0 & 0 & \sum_{i=1}^4 f_i \end{bmatrix}^T$$

$$\begin{bmatrix} 0 \\ 0 \end{bmatrix} = \begin{bmatrix} m\mathcal{R}_x & \mathbf{0} \\ m\mathcal{R}_y & \mathbf{0} \end{bmatrix} \begin{bmatrix} \ddot{\xi}_h \\ \ddot{\eta}_h \end{bmatrix} + \begin{bmatrix} \mathbf{0} & \mathbf{0} \\ \mathbf{0} & \mathbf{0} \end{bmatrix} \begin{bmatrix} \dot{\xi}_h \\ \dot{\eta}_h \end{bmatrix} + \begin{bmatrix} -mgs_{\theta_h} \\ mgc_{\theta_h}s_{\phi_h} \end{bmatrix} + \begin{bmatrix} \mathcal{R}_x \mathbf{D}_t \\ \mathcal{R}_y \mathbf{D}_t \end{bmatrix}$$



CONTROLE



Controle de Movimento

- Posicionamento
 - ▣ Um robô deve alcançar uma postura predefinida no espaço de trabalho e lá permanecer até que uma nova referência lhe seja dada
- Seguimento de Caminhos
 - ▣ Um robô deve realizar uma tarefa de posicionamento para uma curva predefinida sem restrição temporal
- Rastreamento de Trajetórias
 - ▣ A navegação apresenta restrição temporal durante a tarefa de posicionamento sobre uma curva dada

Estratégias de Controle

- Estratégias de controle

- ▣ Laços internos e externos



- ▣ Controle acoplado



- ▣ Controle inteligente

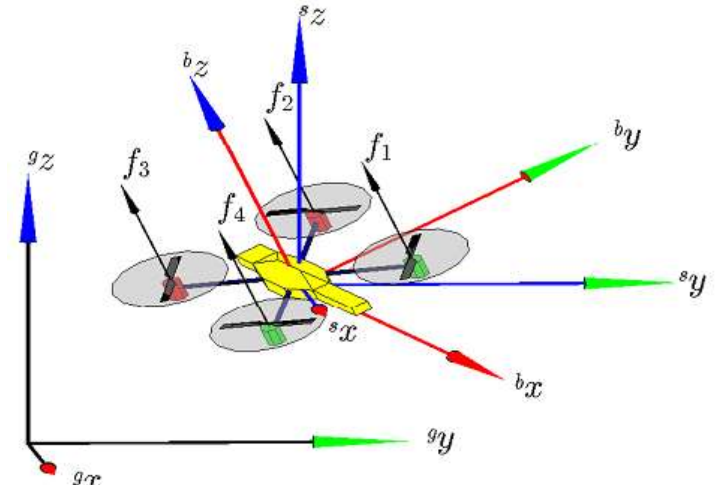
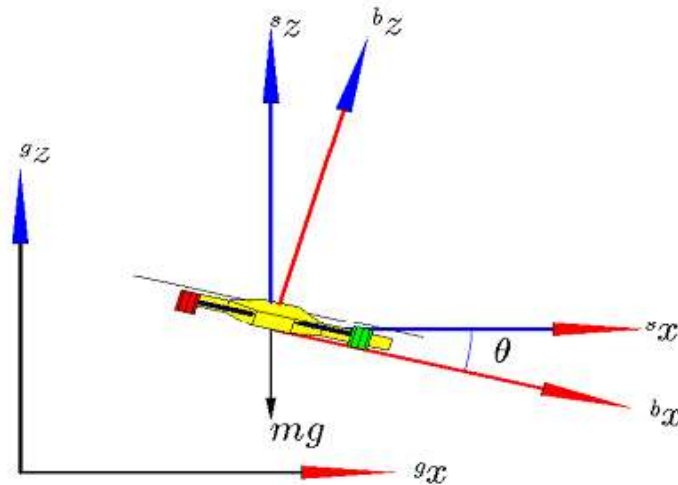
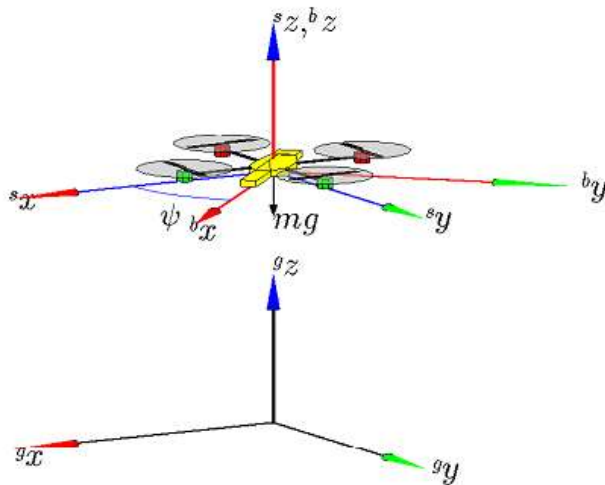
- Estruturas de controle

- ▣ Linearização de modelo

- ▣ Modelo completo

Controladores de Voo

- Controladores com restrições de movimento
 - ▣ Controle de altitude e guinada
 - ▣ Controle PVTOL (*Planar Vertical Taking-off and Landing*)
- Controlador sem restrições de movimento (navegação 3D)
 - ▣ Controle baseado na dinâmica inversa
- Controle comutado



Controle de Altitude e Guinada

□ Considerações

$$\dot{\phi}(t) = \dot{\theta}(t) = 0$$

$$\phi(t) = \theta(t) = 0 \quad \forall t \geq 0$$

□ Modelo simplificado

$$u = m\ddot{z} + mg, \quad \text{com} \quad u = \sum_{i=1}^4 f_i$$

$$\tau_{\psi} = I_{zz}\ddot{\psi}, \quad \text{com} \quad \tau_{\psi} = K_2(f_1 - f_2 + f_3 - f_4)$$

□ Sinais de controle

$$u = m \left(\ddot{z}_d + k_{dz1} \tanh k_{dz2} \dot{\tilde{z}} + k_{pz1} \tanh k_{pz2} \tilde{z} + g \right)$$

$$\tau_{\psi} = I_{zz} \left(\ddot{\psi}_d + k_{d\psi1} \tanh k_{d\psi2} \dot{\tilde{\psi}} + k_{p\psi1} \tanh k_{p\psi2} \tilde{\psi} \right)$$

□ Em malha fechada

$$\ddot{\tilde{z}} + k_{dz1} \tanh k_{dz2} \dot{\tilde{z}} + k_{pz1} \tanh k_{pz2} \tilde{z} = 0,$$

$$\ddot{\tilde{\psi}} + k_{d\psi1} \tanh k_{d\psi2} \dot{\tilde{\psi}} + k_{p\psi1} \tanh k_{p\psi2} \tilde{\psi} = 0.$$

Controle PVTOL no Plano XZ

- Considerações

$$\phi(t) = \psi(t) = 0 \quad \forall t \geq 0$$

$$\dot{\phi} = \dot{\psi} = 0 \quad \forall t \geq 0$$

- Modelo simplificado

$$u \sin \theta = m \ddot{x}$$

$$u \cos \theta = m \ddot{z} + mg$$

$$\tau_\theta = I_{yy} \ddot{\theta},$$

$$u = \sum_{i=1}^4 f_i$$

$$\tau_\theta = k_1(-f_1 + f_2 + f_3 - f_4)$$

- Sinais de controle

$$u = \frac{m}{\cos \theta} (\eta_z + g)$$

$$\tau_\theta = I_{yy} \eta_\theta$$

$$\eta_z = \ddot{z}_d + K_{z1} \tanh(K_{z1} K_{z2}^{-1} \dot{\tilde{z}}) + K_{z3} \tanh(K_{z3} K_{z4}^{-1} \tilde{z})$$

$$\eta_\theta = \ddot{\theta}_d + K_{\theta1} \tanh(K_{\theta1} K_{\theta2}^{-1} \dot{\tilde{\theta}}) + K_{\theta3} \tanh(K_{\theta3} K_{\theta4}^{-1} \tilde{\theta})$$

- Em malha fechada

$$\ddot{\tilde{z}} + K_{z1} \tanh(K_{z1} K_{z2}^{-1} \dot{\tilde{z}}) + K_{z3} \tanh(K_{z3} K_{z4}^{-1} \tilde{z}) = 0$$

$$\ddot{\tilde{\theta}} + K_{\theta1} \tanh(K_{\theta1} K_{\theta2}^{-1} \dot{\tilde{\theta}}) + K_{\theta3} \tanh(K_{\theta3} K_{\theta4}^{-1} \tilde{\theta}) = 0$$

Controle PVTOL no Plano XZ

- Considerações

$$\phi(t) = \psi(t) = 0 \quad \forall t \geq 0$$

$$\dot{\phi} = \dot{\psi} = 0 \quad \forall t \geq 0$$

- Modelo simplificado

$$u \sin \theta = m \ddot{x}$$

$$u \cos \theta = m \ddot{z} + mg$$

$$\tau_\theta = I_{yy} \ddot{\theta},$$

$$u = \sum_{i=1}^4 f_i$$

$$\tau_\theta = k_1(-f_1 + f_2 + f_3 - f_4)$$

- Sinais de controle (dinâmica acoplada do sistema)

$$\ddot{x} = (\eta_z + g) \tan(\theta_d - \tilde{\theta})$$

$$\ddot{x} - (\eta_z + g) \tan \theta_d = -(\eta_z + g + \ddot{x} \tan \theta_d) \tan \tilde{\theta}$$

$$\theta_d = \tan^{-1} \left(\frac{\eta_x}{\eta_z + g} \right)$$

$$\eta_x = \ddot{x}_d + K_{x1} \tanh(K_{x2} \dot{\tilde{x}}) + K_{x3} \tanh(K_{x2} \dot{\tilde{x}} + K_{x4} \tilde{x})$$

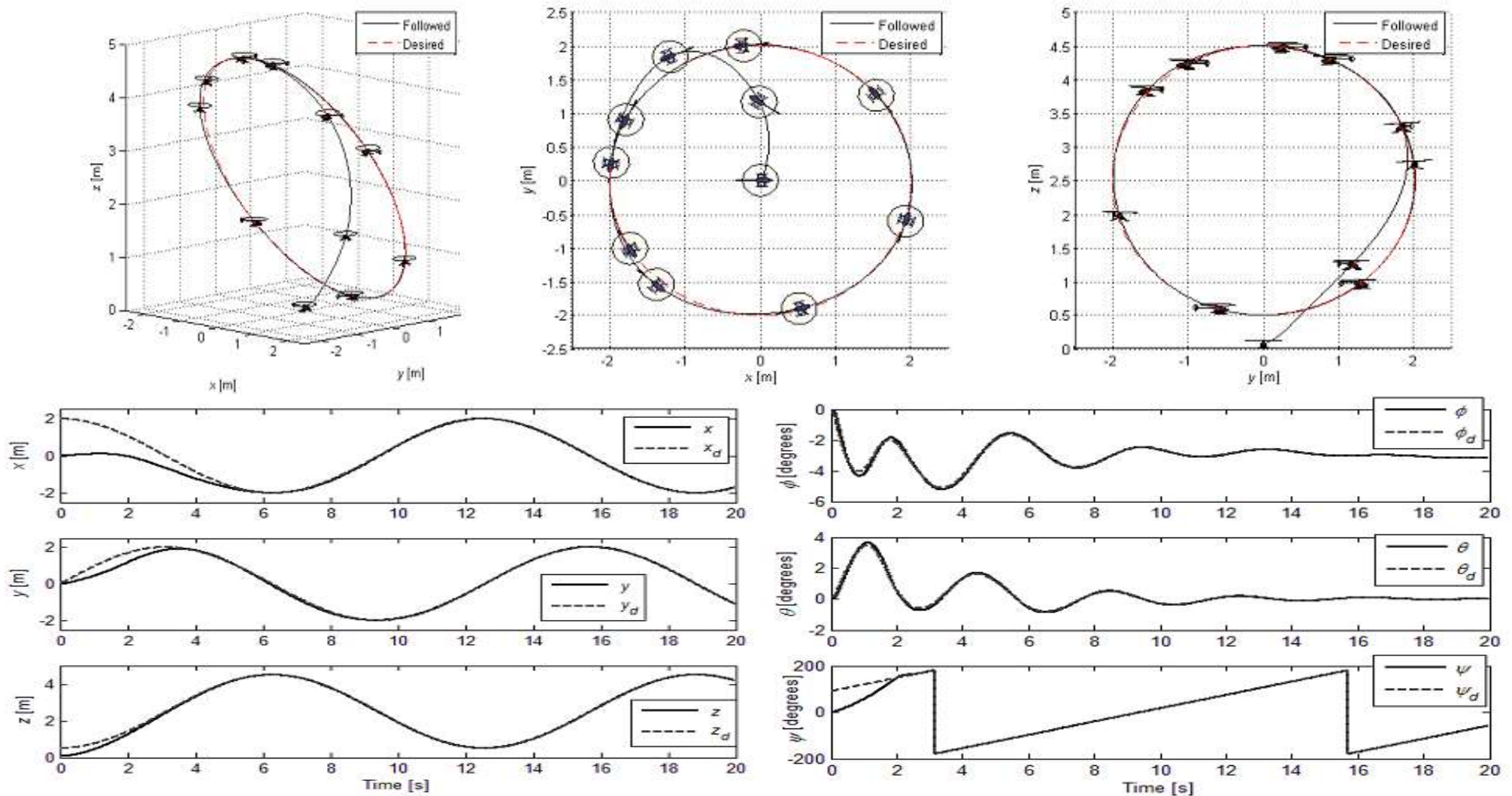
- Em malha fechada

$$\ddot{\tilde{x}} + K_{x1} \tanh(K_{x2} \dot{\tilde{x}}) + K_{x3} \tanh(K_{x2} \dot{\tilde{x}} + K_{x4} \tilde{x}) = \delta$$

$$\delta = (\eta_z + g + \ddot{x} \tan \theta_d) \tan \tilde{\theta}$$

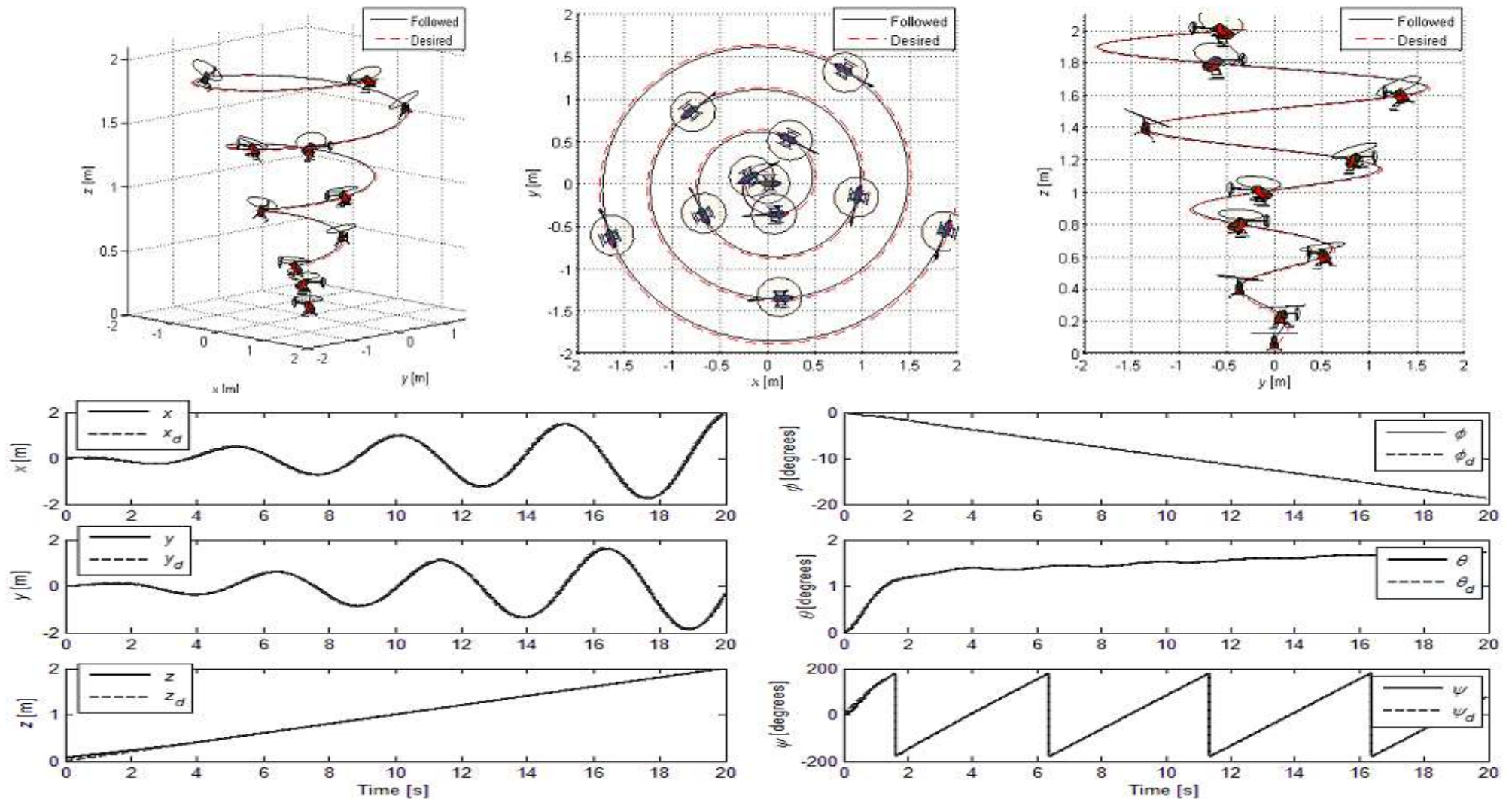
Resultados de Simulação

Plano Inclinado 3D



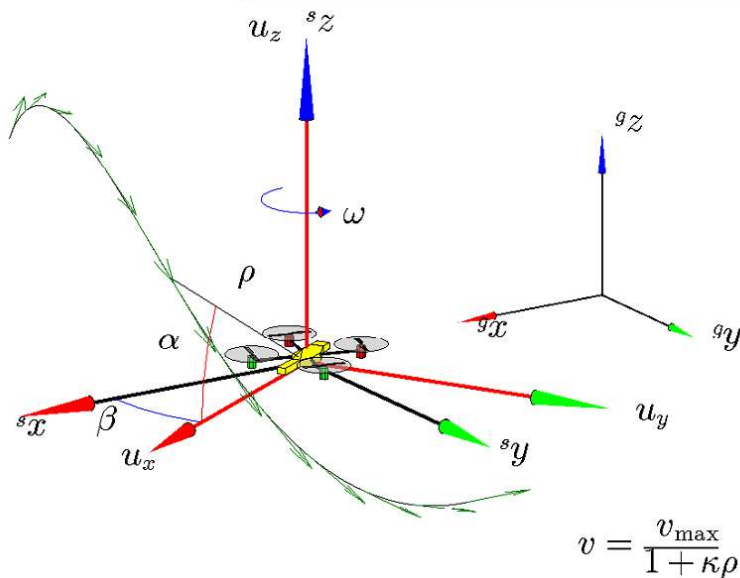
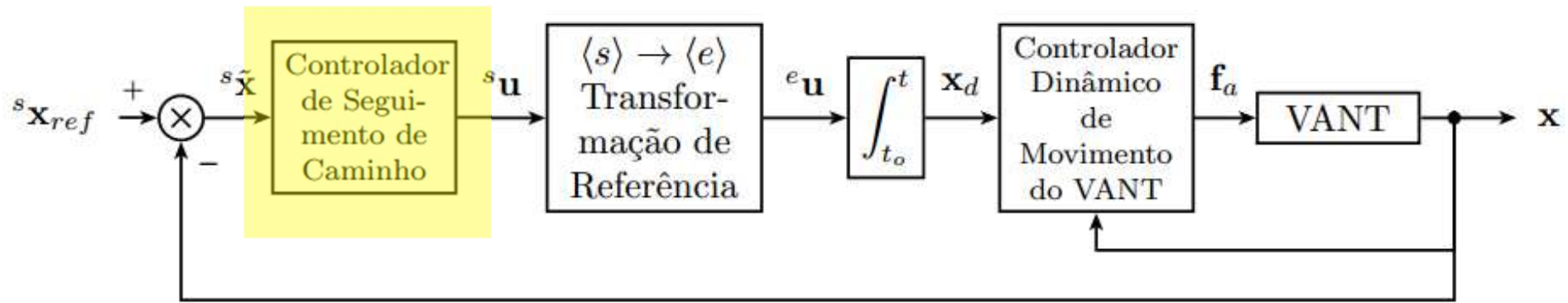
Resultados de Simulação

Espiral Crescente



Seguimento de Caminhos

- Controlador de seguimento de caminhos utilizando um controlador cinemático associado a um controlador dinâmico



$$\begin{bmatrix} \dot{x}_{ref} \\ \dot{y}_{ref} \\ \dot{z}_{ref} \\ \dot{\psi}_{ref} \end{bmatrix} = \begin{bmatrix} \frac{v_{max}}{1 + \kappa\rho} \cos \alpha \cos \beta \\ \frac{v_{max}}{1 + \kappa\rho} \cos \alpha \sin \beta \\ \frac{v_{max}}{1 + \kappa\rho} \sin \beta \\ \omega_{ref} \end{bmatrix}$$

$$\rho = \sqrt{(x_{ref} - x)^2 + (y_{ref} - y)^2 + (z_{ref} - z)^2}$$

$$\alpha = \tan^{-1} \frac{\dot{z}_{ref}}{\sqrt{\dot{x}_{ref}^2 + \dot{y}_{ref}^2}}$$

$$\beta = \tan^{-1} \frac{\dot{y}_{ref}}{\dot{x}_{ref}}$$

$$v = \frac{v_{max}}{1 + \kappa\rho}$$

Seguimento de Caminhos

- Proposta de um modelo cinemático composto por quatro velocidades lineares e uma angular no referencial espacial
 - ▣ Objetivo de controle: gerar referências de postura ao controlador dinâmico

$$\begin{bmatrix} \dot{x} \\ \dot{y} \\ \dot{z} \\ \dot{\psi} \end{bmatrix} = \begin{bmatrix} \cos \psi & -\sin \psi & 0 & 0 \\ \sin \psi & \cos \psi & 0 & 0 \\ 0 & 0 & 1 & 0 \\ 0 & 0 & 0 & 1 \end{bmatrix} \begin{bmatrix} u_x \\ u_y \\ u_z \\ \omega \end{bmatrix} \quad \longrightarrow \quad \dot{\mathbf{x}} = f(\mathbf{x})\mathbf{u}$$

Sinal de controle

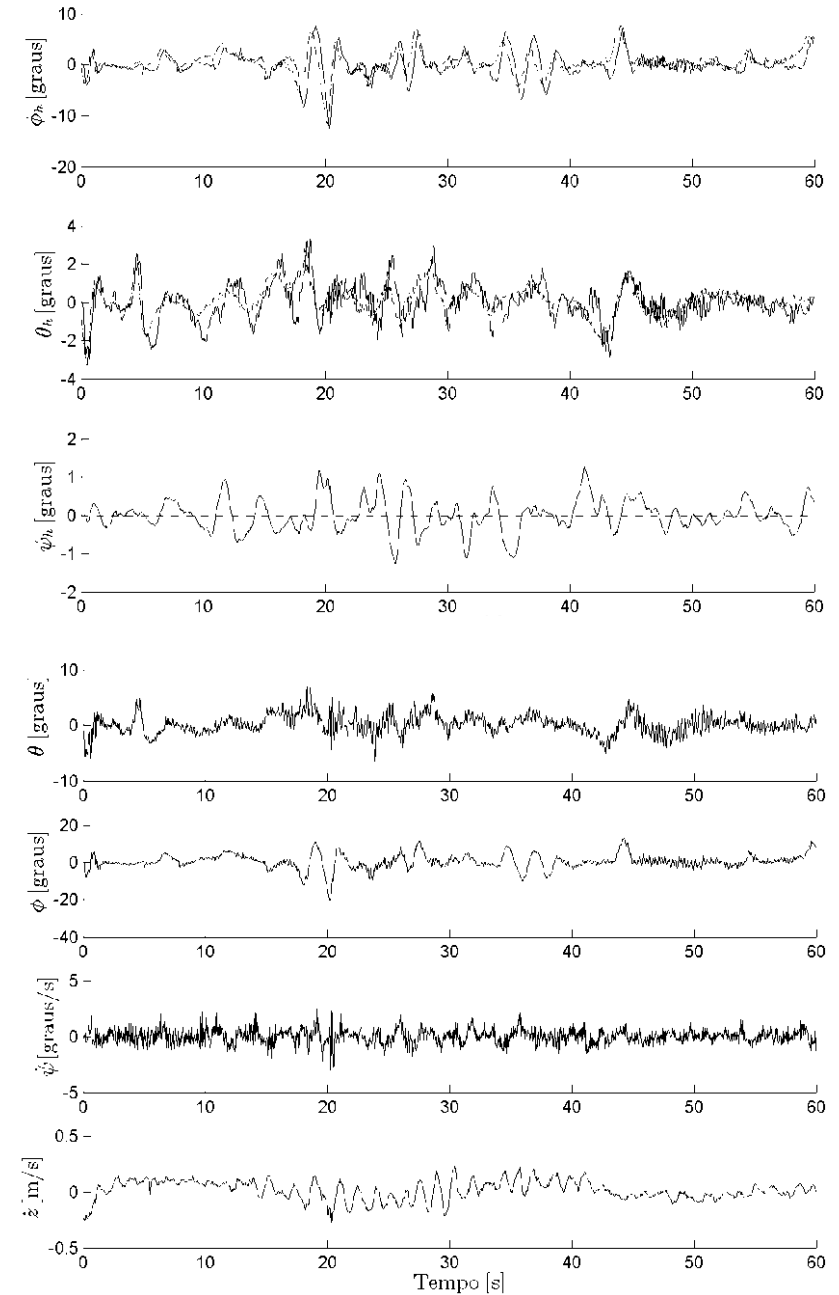
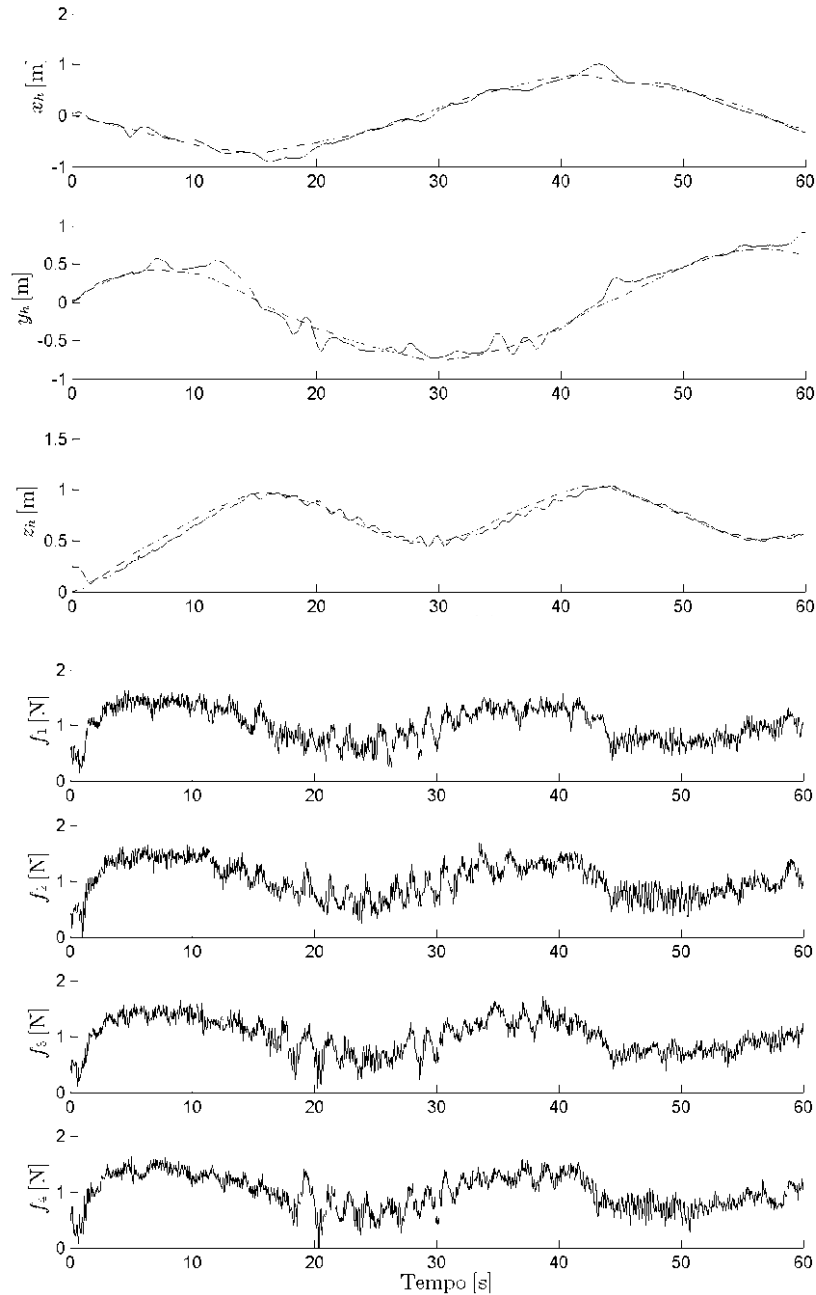
$$\mathbf{u} = f(\mathbf{x})^{-1}(\dot{\mathbf{x}}_{ref} + \kappa_1 \tanh \kappa_2 \tilde{\mathbf{x}})$$

$$\dot{\tilde{\mathbf{x}}} = \dot{\mathbf{x}}_{ref} - \dot{\mathbf{x}}$$

Sistema em malha fechada

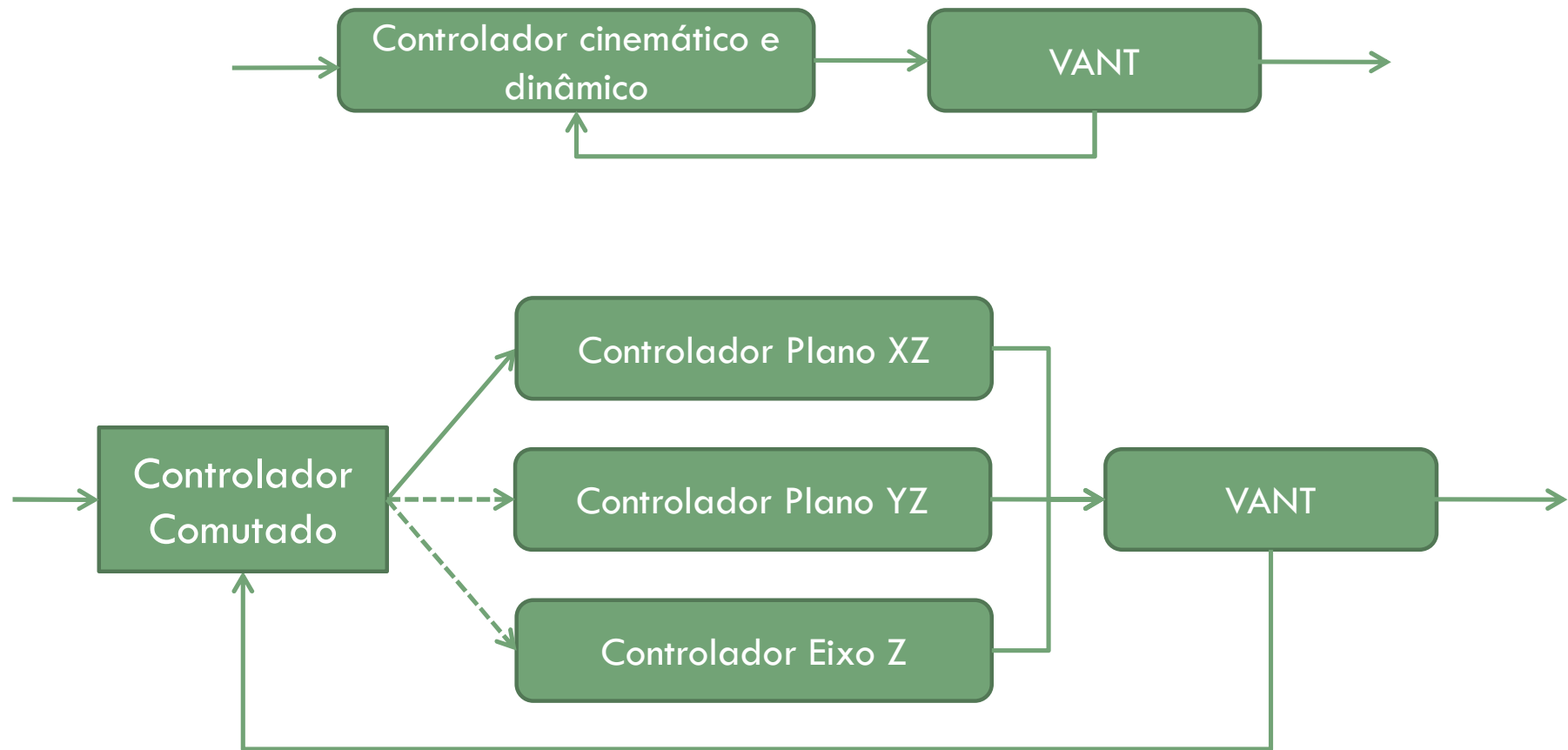
$$\dot{\tilde{\mathbf{x}}} + \kappa_1 \tanh(\kappa_2 \tilde{\mathbf{x}}) = \mathbf{\Upsilon}$$

Resultado Experimental Quadrimotor: Seguimento Caminho 3D

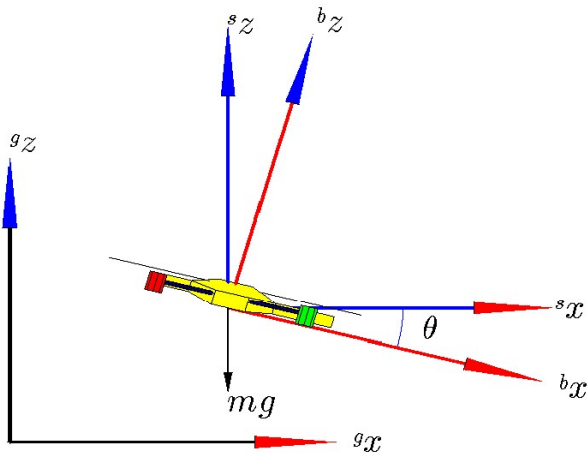


Controlador Comutado

□ Controlador

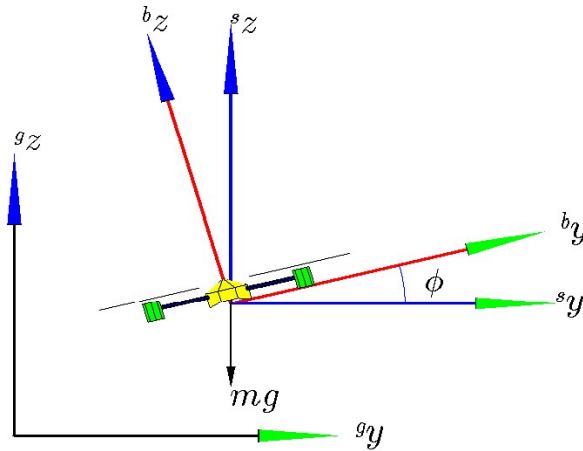


Modelo PVTOL



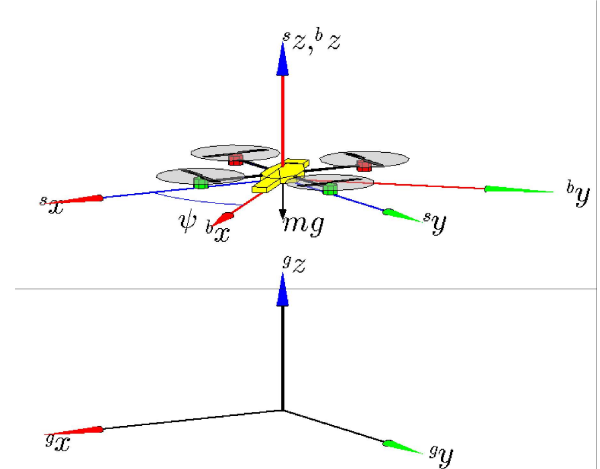
$$\begin{bmatrix} m\ddot{x} \\ 0 \\ m(\ddot{z} + g) \end{bmatrix} = \begin{bmatrix} u \sin \theta \\ 0 \\ u \cos \theta \end{bmatrix}$$

$$\begin{bmatrix} \tau_\phi \\ \tau_\theta \\ \tau_\psi \end{bmatrix} = \begin{bmatrix} 0 \\ I_{yy} \ddot{\theta} \\ 0 \end{bmatrix}$$



$$\begin{bmatrix} 0 \\ m\ddot{y} \\ m(\ddot{z} + g) \end{bmatrix} = \begin{bmatrix} 0 \\ -u \sin \phi \\ u \cos \phi \end{bmatrix}$$

$$\begin{bmatrix} \tau_\phi \\ \tau_\theta \\ \tau_\psi \end{bmatrix} = \begin{bmatrix} I_{xx} \ddot{\phi} \\ 0 \\ 0 \end{bmatrix}$$



$$\begin{bmatrix} 0 \\ 0 \\ m(\ddot{z} + g) \end{bmatrix} = \begin{bmatrix} 0 \\ 0 \\ u \end{bmatrix}$$

$$\begin{bmatrix} \tau_\phi \\ \tau_\theta \\ \tau_\psi \end{bmatrix} = \begin{bmatrix} 0 \\ 0 \\ I_{zz} \ddot{\psi} \end{bmatrix}$$

J. Hauser, S. Sastry and G. Meyer. "Nonlinear control design for slightly non-minimum phase systems: Application to v/stol aircraft", *Automatica*, vol. 28, pp. 665-679, 1992

Estratégia de Controle Comutado

- Ações definidas pelo sinal de comutação σ
 - σ_1 : Mover longitudinalmente para a posição desejada, executando o controlador PVTOL no plano XZ
 - σ_2 : Reduzir o erro de deslocamento lateral, executando o controlador PVTOL no plano YZ
 - σ_3 : Reduzir o erro de orientação de guinada, executando controlador PVTOL no eixo Z
- Condições analisadas pelo Supervisor
 - Se o erro de orientação e o de deslocamento lateral é menor que um dado valor, então σ_1 é ativado
 - Se o erro de orientação é menor que um dado valor, mas o deslocamento lateral é mais que um dado valor, então σ_2 é ativado
 - Se a posição desejada muda ou o erro de orientação é maior que um dado valor, então a orientação corrente deve ser corrigida usando σ_3

Resultado Experimental Quadrimotor: Posicionamento 3D

